

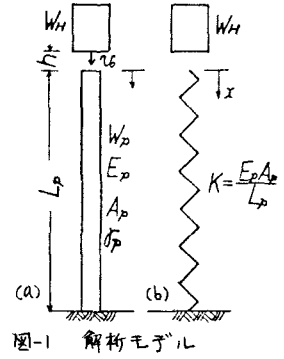
東海大学工学部 正会員 宇都一馬  
 正会員 各木 衛  
 正会員 近藤 博

1. まえがき くいの打ち時にくいに発生する打撃応力の算定式の考え方には、大きく分けて、つぎの2つの立場がとられている。① エネルギーのつり合いによる方法  $\sigma_p = \sqrt{2E \frac{E_p W_H h}{A_p L_p}}$  ----(1) (建築学会・鋼骨の規準)

② 波動方程式によるもの  $\sigma_p = \frac{\alpha \sqrt{2E_p E_p h}}{(1 + \frac{A_c E_c c_c}{A_H E_H c_H})(1 + \frac{A_p E_p c_p}{A_c E_c c_c})}$  ----(2) (建築学会 鋼骨の規準) あるいは、  $\sigma_p = \frac{e \sqrt{2E_p h}}{1 + \frac{A_p E_p c_p}{A_H E_H c_H}}$  ----(3) (道路協会 くい基礎の施工)

筆者らは、くいの打ち込みに関する一連の研究を行なっており、(2)式の誘導過程の誤り<sup>2)</sup>、(3)式の考え方<sup>3)</sup>についてはすでに報告した。今回の報告では、(1)式の問題点、これと波動方程式によるものとの関係、さらにこれらの算定式におけるハンマー重量の影響などについて考察した。

2. 打撃エネルギーのつり合いによる打撃応力の算定式の問題点 この考え方はハンマーのもつ位置エネルギー( $W_H \cdot h$ )と打撃時にくいおよび地盤が吸収するエネルギーのつり合いから求めるもので、その誘導過程は文献(1)に詳しい。(1)式は、地盤やくいなどの微小変形量を無視して単純化したもので、実用的には、ドロップハンマー、ギンゼルハンマーの各々について経験的な効率 $\epsilon$ や修正係数 $\alpha$ で補正して用いられる。また、この考え方は、各種のいわゆる動的くい打ち公式の基本原理となっているものでもある。一方、(1)式はまた初等材料力学の教科書で扱う縦衝撃の解とも一致する。すなわち、図-1(a)に示すように、弾性棒(くい)を剛性支持台(剛性地盤)の上



にのせ、重量が  $W_H$  である剛体(ハンマー)を高きから自由落下させた場合、棒の内部に生ずる最大応力  $\sigma_{max}$  は  $\sigma_{max} = \sqrt{\frac{E_p W_H}{A_p L_p}} v_0 = \sqrt{2 \frac{E_p W_H h}{A_p L_p}} = \frac{E_p v_0}{c_p} \sqrt{\frac{W_H}{W_p}} = \sigma_0 \sqrt{m}$  ----(4) で与えられる。ここに、 $\sigma_0 = \frac{E_p v_0}{c_p}$ 、 $m = \frac{W_H}{W_p}$  である。(1)式で  $\epsilon=1$  とおいたものと一致する。ここで注意すべきことは、弾性棒内における応力は、衝突の瞬間に棒全体に一樣に分布すると仮定し、さらに、棒に生ずるエネルギーは必ずみエネルギーのみを考慮していることである。したがってこのモデルは、弾性棒を図-1(b)のように重量のないバネ  $K$  に置きかえたものに等しい。この仮定の妥当性を調べるため、図-1(a)の問題を3.で述べる波動理論で解いた厳密解から得られる最大応力  $\sigma_{max}$  と比較したものが図-2である<sup>1)</sup>。図では応力の表示は  $\sigma_{max}/\sigma_0$  で無次元化しており、厳密解の近似式も示してある。これより、(4)式から求まる最大応力  $\sigma_{max}$  は重量比  $m$  が非常に大きな場合(たとえば1000)には厳密解に近似するが、くい打ちの实用範囲( $m=1 \sim 10$ )においては両者の差は無視できない。

これから、打撃エネルギーのつり合いによる打撃応力の算定式の問題点として、つぎのことがいえる。① この解は重量比  $m$  が非常に大きな場合の近似解ではあるが、くい打ちの实用範囲では大きな誤差がみこまれる。② この原因は、くい体に発生する応力が打撃の瞬間にくい先端部で一樣に分布するとし、しかもくいの必ずみエネルギーのみ考え、運動エネルギーを無視していることによるもので、いわゆる真の意味の動的なエネルギーのつり合いはとれていないことにある。③ したがって、さらに複雑な先端条件を有する実際のくい打ち現象においては、3.で扱う波動理論により、くい体の運動エネルギーまで含めた

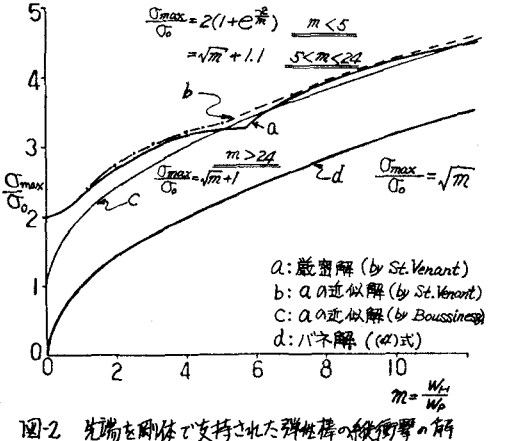


図-2 先端を剛体で支持された弾性棒の縦衝撃の解

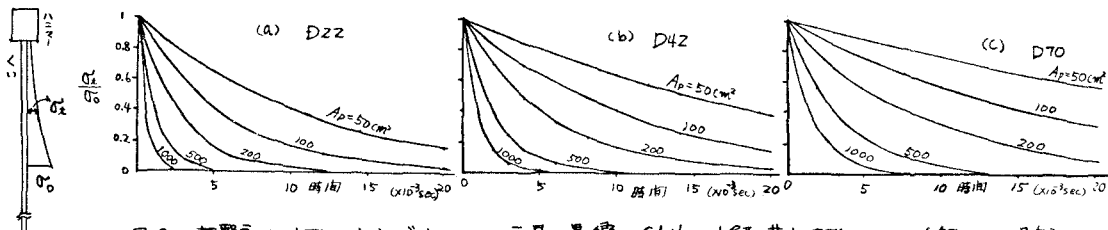


図-3 打撃応力波形におよぼすハンマー重量の影響 - St. Venant 解の基本波形による (鋼くいの場合)

扱いがより妥当となる。

3. 波動方程式による打撃応力の算定式 この考え方の理論的な扱い<sup>3), 5), 6)</sup>, 模型実験<sup>4)</sup>, 現場実験<sup>7), 8)</sup>などの詳細はそれぞれの参考文献を参照されたい。2. で扱ったエネルギーのつり合いによるものとの主な相違点は、①エネルギーのつり合いをとる場合は、運動エネルギーとひずみエネルギーの和で考える。②打撃応力は重量比  $m$  のみでは決定されず、ハンマーとくいのそれぞれの形状、材料定数が重要な要素となる。③ハンマー、くいのいずれも、それに発生する応力波の重複反射を考慮する。④③式 ( $e=1$ ) によって与えられる衝突時のピーク応力が、必ずしも最大応力とは限らない。⑤ハンマー重量の相違は、打撃応力の大小よりも、応力波の波長の長短により大きな影響となって現われる。なごである。

4. 打撃応力におよぼすハンマー重量の影響 くいに生じる打撃応力の基本波形は、St. Venant 解  $\sigma_z = \sigma_0 e^{-\frac{z}{c} \sqrt{\frac{E}{\rho}}}$  … ⑤ で近似できる。これによれば、ハンマーの落下高さ  $h$  が一定 ( $v_0$  が一定) ならばピーク応力  $\sigma_0 = \frac{E}{c} v_0$  は一定で、ハンマーの重量はその波長に関与することがわかる。図-3 は、ジ-ゼル II にマ- D22, D42, D70 に相当する応力波形 (ただし、爆発力の影響は入っていない) を種々の鋼くい断面積に関して、⑤式で求めて画いたものである。 $A_p = 200 \text{ cm}^2$  のくいに注目すれば、ハンマー重量が大きいものは波長が長くなるのがわかる。また、同一ハンマーに注目すれば、打ち込むくいに与える応力波形の推定ができ、さらに爆発力などの定量的な見積りができれば、実際の施工におけるハンマー容量の選定に有効な情報となり得る。図-4 は、このような観点から実測応力波形と St. Venant 解の基本波形⑤式の比較を行なったものである。

まとめ ①くいに発生する打撃応力におよぼすハンマー重量の影響は、応力の絶対値よりもその波長の長短により大きく現われる。②いわゆるエネルギーのつり合いによる打撃応力の算定式では、真の意味の動的エネルギーのつり合いはとれておらず、したがって経験的な補正式の適用にもおのずから限界がある。③また、この考え方に基礎をおく、各種の動的くい打ち公式も厳密には動的な問題を扱っているわけではない。④くい打ち現象は波動理論によって、応力のピーク値のみでなく波長まで考慮した厳密な取り扱いが必要となる。⑤ハンマーの容量の選定、施工地の判定などは応力の絶対値のみでなく波長まで考えに入れることが重要で、St. Venant 解の基本波形を基準にすることが有効となる。

なお、基礎的な実験結果については、発表当日スライドで説明する予定である。

参考文献 1) 建築鋼くい基礎設計施工規準, 日本建築学会 2) 道路橋下部構造設計指針(1)基礎の施工編, 日本道路協会 3) 宇都他; クイの打ち込み(弾性波としての打撃応力について) 橋梁と基礎 Vol. 1 No. 7 (1967) 4) 宇都他; シンクロスコ-プを用いた打撃応力の観測, 第 29 回土木学会 (1968) 5) 宇都他; 波動理論による打ち込み時くい頭部応力の算定式について, 第 30 回土木学会 (1975) 6) 宇都他; 打ち込み時にくい体に発生する打撃応力の算定式について, 第 31 回土木学会 (1976) 7) 宇都他; くいの偏心打撃に関する実験, 第 4 回土木学会関東支部 (1977) 8) 宇都他, くいの打撃応力に対する先端地盤の影響, 第 32 回土木学会 (1977) 9) たくとら S. Timoshenko, 材料力学(上) コロナ社 (1955) 10) たくとら S. Timoshenko; 工業振動学, 東京図書 (1966)

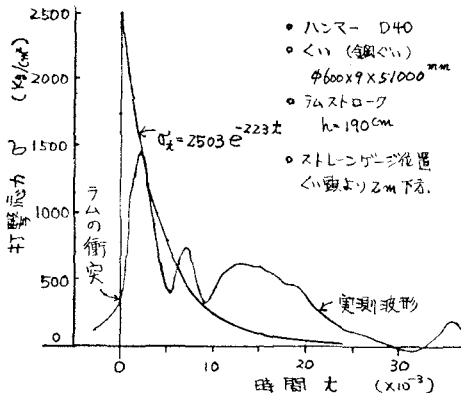


図-4 実測波形と St. Venant 解の基本波形との比較 (鋼くい)